

© А.И. Гудименко, А.Д. Захаренко\*

# Исследование положений относительного равновесия трех вихрей

Исследуются тип, число и устойчивость положений относительного равновесия трех точечных вихрей в двумерной модели неограниченной идеальной жидкости.

Ключевые слова: *точечные вихри, относительное равновесие, устойчивость, алгебраическая редукция*.

## 1. Введение

Считается, что наиболее полный качественный анализ относительного движения трех точечных вихрей содержится в [1]. Однако результаты этой работы не очень наглядны (см. соответствующие комментарии в [2, 3]): это вызвано реальной сложностью задачи и неадекватным, по нашему мнению, способом редукции абсолютного движения вихрей к относительному. Недавняя работа [3] частично исправила ситуацию в контексте исследования устойчивости положений равновесия трех вихрей. Однако и в этой работе используется «наивная» редукция, и — как следствие — анализ ограничен линейным приближением.

В настоящей работе предлагается вариант локального качественного анализа относительного движения трех вихрей, основанный на методе алгебраической редукции [2, 4–6], уже показавшем свою эффективность при построении асимптотик абсолютного движения вихрей [7–9]. При использовании этого метода не возникает проблем с определением относительной устойчивости так же, как и со структурированием и наглядностью результатов. Кроме того, представление уравнений относительного движения в виде двумерной гамильтоновой системы упрощает вычисление асимптотических разложений движения выше линейной степени и позволяет использовать известные методы качественного анализа двумерных систем [10].

**Обозначения и соглашения.** Для удобства прочтения приведем список некоторых из используемых в работе обозначений:

$x_i, y_i$  — декартовы координаты  $i$ -го вихря;

$\gamma_i$  и  $a_i = \gamma_i^{-1}$  — интенсивность и обратная интенсивность  $i$ -го вихря;

$m_i = (x_j - x_k)^2 + (y_j - y_k)^2$  — квадрат расстояния между вихрями, отличными от  $i$ -го;

$m_0 = (x_1 - x_2)(y_2 - y_3) - (y_1 - y_2)(x_2 - x_3)$  — удвоенная ориентированная площадь вихревого треугольника;

$\gamma = \gamma_1\gamma_2 + \gamma_2\gamma_3 + \gamma_3\gamma_1, a = a_1a_2 + a_2a_3 + a_3a_1$ ;

$\operatorname{sgn} z$  — сигнатура  $z \in \mathbb{R}$ ,  $\operatorname{sgn} z = 1$  при  $z > 0$ ,  $\operatorname{sgn} z = -1$  при  $z < 0$  и  $\operatorname{sgn} 0 = 0$ .

<sup>1</sup>Тихоокеанский океанологический институт ДВО РАН, 690041, г. Владивосток, ул. Балтийская, 43. Электронная почта: algud@poi.dvo.ru

Набор индексов  $(i, j, k)$  в формулах, если их диапазон изменения не задан, принимает все циклические перестановки тройки чисел  $(1, 2, 3)$ .

## 2. Уравнения абсолютного движения и интегралы

Движение трех точечных вихрей описывается гамильтоновой динамической системой

$$\dot{x}_i = \{x_i, H\}, \quad \dot{y}_i = \{y_i, H\} \quad (1)$$

с гамильтонианом

$$H = -\frac{1}{4\pi}(\gamma_1\gamma_2 \ln m_3 + \gamma_2\gamma_3 \ln m_1 + \gamma_3\gamma_1 \ln m_2) \quad (2)$$

и скобкой Пуассона

$$\{f, g\} = \sum_{i=1}^3 \frac{1}{\gamma_i} \left( \frac{\partial f}{\partial x_i} \frac{\partial g}{\partial y_i} - \frac{\partial g}{\partial x_i} \frac{\partial f}{\partial y_i} \right). \quad (3)$$

Помимо гамильтониана эта система обладает тремя независимыми первыми интегралами

$$P = \sum_{i=1}^3 \gamma_i x_i, \quad Q = \sum_{i=1}^3 \gamma_i y_i, \quad I = \sum_{i=1}^3 \gamma_i (x_i^2 + y_i^2),$$

связанными с инвариантностью уравнений движения относительно сдвигов и поворотов системы координат. Эти интегралы не находятся в инволюции, однако из них можно сконструировать пару инволютивных интегралов, например,

$$P^2 + Q^2, \quad D = \frac{(\gamma_1 + \gamma_2 + \gamma_3)I - P^2 - Q^2}{\gamma_1\gamma_2\gamma_3} = \frac{m_1}{\gamma_1} + \frac{m_2}{\gamma_2} + \frac{m_3}{\gamma_3}, \quad (4)$$

что позволяет понизить порядок системы на четыре единицы.

Про систему (1)–(3) говорят, что она описывает *абсолютное движение вихрей*. С относительным движением ассоциируют *редуцированную* динамическую систему.

## 3. Уравнения относительного движения

**Редуцированная система.** Справедливы соотношения

$$\{m_i, m_j\} = -4a_k m_0, \quad \{m_0, m_i\} = (a_k - a_j)m_i + (a_j + a_k)(m_k - m_j). \quad (5)$$

В пространстве переменных  $m_i$ ,  $i = 0, 1, 2, 3$ , эти соотношения определяют структуру многообразия Ли – Пуассона с двумя центральными функциями  $D$  и  $F$ , где

$$F = 4m_0^2 + m_1^2 + m_2^2 + m_3^2 - 2(m_1m_2 + m_2m_3 + m_3m_1).$$

Последняя возникает из соотношения Герона, связывающего площадь треугольника с длинами его сторон.

*Редуцированная система* определяется как ограничение на симплектический лист  $D = \text{const}$ ,  $F = 0$  гамильтоновой системы с гамильтонианом (2) и скобкой (5).

В явном виде уравнения системы задаются равенствами

$$\dot{m}_0 = \sum \frac{(a_i + a_j)(m_i - m_j)}{4\pi a_i a_j m_k}, \quad \dot{m}_i = -\frac{m_0(m_j - m_k)}{\pi a_i m_j m_k}. \quad (6)$$

Скобка (5) — линейная; соответствующая ей алгебра Ли называется *вихревой алгеброй* [2].

**Структура симплектического листа.** Симплектический лист в зависимости от зна-  
ка величины  $a = a_1a_2 + a_2a_3 + a_3a_1$  линейным преобразованием вихревой алгебры может  
быть трансформирован в эллипсоид ( $a > 0$ ), параболоид ( $a = 0$ ) или гиперболоид ( $a < 0$ ).

Так, при  $a \neq 0$ , полагая

$$\begin{aligned} e_0 &= \sum \frac{a_i m_i}{4a}, & e_1 &= \frac{m_0}{2\sqrt{|a|}}, & e_2 &= e_0 - \frac{m_3}{2(a_1 + a_2)}, \\ e_3 &= \frac{a_1(m_1 - m_2 + m_3) + a_2(m_1 - m_2 - m_3)}{4\sqrt{|a|}(a_1 + a_2)}. \end{aligned} \quad (7)$$

Находим, что

$$\{e_0, e_i\} = 0, \quad \{e_1, e_2\} = e_3, \quad \{e_2, e_3\} = e_1, \quad \{e_3, e_1\} = \operatorname{sgn}(a)e_2, \quad (8)$$

и, коль скоро  $F = 0$ ,

$$e_1^2 + \operatorname{sgn}(a)e_2^2 + e_3^2 - \operatorname{sgn}(a)e_0^2 = 0. \quad (9)$$

Мы видим, что в новых координатах фазовое пространство редуцированной системы  
расслоено на сферы при  $a > 0$  и двуполостные гиперболоиды при  $a < 0$ . При  $e_0 = 0$   
получаем соответственно точку и конус. Симплектическая структура на этих поверхностях  
задается соотношениями (8).

То, что образующие (7) не определены при  $a_1 + a_2 = 0$ , не сказывается на общности  
рассмотрения, ибо, перенумеровывая вихри, всегда можно считать  $a_1 + a_2 \neq 0$ .

При  $a = 0$  мы полагаем

$$\begin{aligned} e_0 &= \sum a_i m_i, & e_1 &= m_0, & e_2 &= \frac{m_3}{2(a_1 + a_2)}, \\ e_3 &= -\frac{a_1(m_1 - m_2 + m_3) + a_2(m_1 - m_2 - m_3)}{2(a_1 + a_2)} \end{aligned} \quad (10)$$

и находим

$$\{e_0, e_i\} = 0, \quad \{e_1, e_2\} = e_3, \quad \{e_2, e_3\} = e_1, \quad \{e_3, e_1\} = -e_0, \quad (11)$$

$$e_1^2 + e_3^2 - 2e_0e_2 = 0. \quad (12)$$

Таким образом, в новых координатах фазовое пространство расслоено на параболоиды  
с симплектической структурой (11). При  $e_0 = 0$  параболоид вырождается в луч.

**Преобразования вихревой алгебры.** Коснемся вопроса о линейных преобразовани-  
ях вихревой алгебры, сохраняющих расслоенную структуру пуассонова многообразия (8),  
(9) или (11), (12). При  $a > 0$  эти преобразования суть вращения в пространстве  $e_0 = \text{const}$ ,  
при  $a < 0$  — композиция подходящих обычных и гиперболических вращений, при  $a = 0$  —  
это преобразования вида

$$\begin{aligned} e_{0'} &= e_0, \\ e_{1'} &= Ae_0 \cos \theta + e_1 \cos \phi + e_3 \sin \phi, \\ e_{2'} &= \frac{1}{2}A^2 e_0 + Ae_1 \cos(\theta + \phi) + e_2 + Ae_3 \sin(\theta + \phi), \\ e_{3'} &= Ae_0 \sin \theta - e_1 \sin \phi + e_3 \cos \phi, \end{aligned}$$

где  $A, \theta$  и  $\phi$  — произвольные постоянные.

Этот вопрос нам интересен с точки зрения выбора образующих вихревой алгебры. При  $e_0 \neq 0$  указанными преобразованиями любую точку симплектического листа можно переместить в его «основание» — точку с координатами  $e_1 = e_3 = 0$ . Так, при  $a \neq 0$  можно получить, например, образующие

$$\begin{aligned} e_0 &= \sum \frac{a_i}{4a} m_i, \quad e_1 = \frac{m_0}{2\sqrt{|a|}}, \quad e_2 = \frac{E_0}{E_2} e_0 + \sum \frac{M_i - M_j - M_k}{16aE_2} m_i, \\ e_3 &= \sum \frac{(a_i + a_j)M_j - (a_k + a_i)M_k}{16a\sqrt{|a|}E_2} m_i, \end{aligned} \tag{13}$$

переводящие в основание  $E_1 = E_3 = 0$  поверхности (9) точку, отвечающую конфигурации вихрей с нулевой площадью и квадратами длин сторон  $M_1, M_2$  и  $M_3$  (заглавные буквы мы связываем с выделенной точкой).

Обратное к (13) преобразование дается соотношениями

$$\begin{aligned} m_0 &= 2\sqrt{|a|}e_1, \quad m_i = 2(a_j + a_k) \left( e_0 - \frac{E_0}{E_2} e_2 \right) \\ &\quad + \frac{2aM_i e_2 - \sqrt{|a|}((a_j(M_k - M_i - M_j) - a_k(M_j - M_k - M_i))e_3)}{2aE_2}. \end{aligned} \tag{14}$$

**Канонические координаты.** При фиксированном  $e_0$  на поверхности (9) можно ввести (многими способами [2]) канонические координаты. Мы используем следующие:

$$x = -\frac{\sqrt{2}e_1}{\sqrt{|e_0| + \operatorname{sgn}(a)e_2}}, \quad y = \frac{\sqrt{2}e_3}{\sqrt{|e_0| + \operatorname{sgn}(a)e_2}}. \tag{15}$$

Непосредственно проверяется, что  $\{x, y\} = 1$ . Обращение (15) дается выражениями

$$\begin{aligned} e_2 &= \operatorname{sgn}(a)|e_0| - \frac{x^2 + y^2}{2}, \\ e_1 &= -\frac{\sqrt{|e_0| + \operatorname{sgn}(a)e_2}}{\sqrt{2}} x, \quad e_3 = \frac{\sqrt{|e_0| + \operatorname{sgn}(a)e_2}}{\sqrt{2}} y. \end{aligned}$$

При  $a = 0$  в качестве канонических координат мы берем

$$x = \frac{e_1}{\sqrt{|e_0|}}, \quad y = \frac{e_3}{\sqrt{|e_0|}}. \tag{16}$$

#### 4. Особые точки редуцированной системы

У редуцированной системы имеется три вида особых точек [2]. Это точки, отвечающие сингулярной ( $m_i = m_j, m_k = 0$ ), равносторонней ( $m_1 = m_2 = m_3$ ) и коллинеарной ( $m_0 = 0, m_1 = 0$ ) конфигурациям вихрей. Рассмотрим вопрос о распределении числа и типа особых точек на фазовом портрете системы при варьировании параметров  $\gamma_1, \gamma_2, \gamma_3$  и  $D$ . Будем предполагать  $0 < \gamma_1 \leq \gamma_2$ .

**Особые точки, отвечающие сингулярным и равносторонним конфигурациям.**  
Положим

$$D_i = a_j + a_k, \quad D_e = a_1 + a_2 + a_3.$$

Эти величины суть интеграл  $D$ , взятый в особых точках, отвечающих сингулярной,  $m_i = 0, m_j = m_k = 1$ , и равносторонней,  $m_1 = m_2 = m_3 = 1$ , конфигурациям вихрей.

При заданных  $\gamma_1, \gamma_2, \gamma_3$  и  $D$  наличие или отсутствие сингулярной конфигурации типа  $m_i = 0$  определяется соотношением  $\operatorname{sgn} D = \operatorname{sgn} D_i$ . В случае равносторонней конфигурации —  $\operatorname{sgn} D = \operatorname{sgn} D_e$ . Если соотношение выполняется — конфигурация реализуется, в противном случае — нет.

**Особые точки, отвечающие коллинеарным конфигурациям.** Типология коллинеарной конфигурации не столь прозрачна, как сингулярной и равносторонней конфигураций.

Коллинеарные конфигурации принято параметризовать величиной  $z \in \mathbb{R}$ , полагая

$$m_1 = z^2 m_3, \quad m_2 = (1-z)^2 m_3.$$

При  $z > 1$  первый вихрь лежит между вторым и третьим, при  $z < 0$  второй лежит между третьим и первым, и при  $0 < z < 1$  третий — между первым и вторым. Эти конфигурации мы называем соответственно *конфигурациями первого, второго и третьего типа* и обозначаем I, II и III.

Через параметр  $z$  необходимое условие реализации коллинеарной конфигурации  $\dot{m}_0 = 0$  может быть записано в виде

$$\gamma_3 = \frac{z^2(z-2)\gamma_1 + (z+1)(z-1)^2\gamma_2}{2z-1}. \quad (17)$$

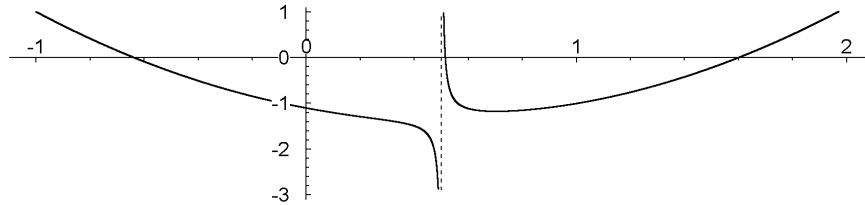


Рис. 1. График функции (17) при  $\gamma_1 = 1$  и  $\gamma_2 = 1.1$ .

**Предложение 4.1.** *Функция (17) имеет единственный конечный минимум  $z_c$ . Если  $\gamma_1 \neq \gamma_2$ , то  $\frac{1}{2} < z_c < 1$ , иначе  $z_c = \frac{1}{2}$ . На интервалах  $z < \frac{1}{2}$  и  $\frac{1}{2} < z < z_c$  функция монотонно убывает, на интервале  $z > z_c$  — монотонно возрастает.*

Доказательство. Пусть  $\gamma_1 \neq \gamma_2$ . Рассмотрим производную (17) по  $z$ :

$$\dot{\gamma}_3 = \frac{z(4z^2 - 7z + 4)\gamma_1 + (z-1)(4z^2 - z + 1)\gamma_2}{(2z-1)^2}. \quad (18)$$

Так как  $4z^2 - 7z + 4 > 0$  и  $4z^2 - z + 1 > 0$  при любом  $z$ , то  $\dot{\gamma}_3 < 0$  при  $z \leq 0$ . На интервале  $0 < z < \frac{1}{2}$  справедлива оценка  $\dot{\gamma}_3 < \dot{\gamma}_3|_{\gamma_1=\gamma_2} < 0$ . На интервале  $z > \frac{1}{2}$  производная имеет в точности один нуль  $z_c$ , ибо числитель (18) на этом интервале возрастает и принимает в граничных точках значения разных знаков. Интервал, где числитель меняет знак, можно ограничить сверху значением  $z = 1$ .

Случай  $\gamma_1 = \gamma_2$  рассматривается аналогично.

Положим  $\gamma_c = \gamma_3(z_c)$ . Вопрос о положении  $\gamma_c$  на оси  $\gamma_3$  решает

**Предложение 4.2.** *Величина  $\gamma_c$  удовлетворяет неравенствам*

$$-\gamma_2 \leq \gamma_c < -\gamma_1, \quad \text{если } \gamma_1 \leq \frac{\sqrt{3}}{2} \gamma_2; \quad (19)$$

$$-\gamma_1 - \gamma_2 < \gamma_c < -\gamma_2, \quad \text{если } \gamma_1 > \frac{\sqrt{3}}{2} \gamma_2; \quad (20)$$

причем равенства в (19) достигаются одновременно. Если  $\gamma_1 = \gamma_2$ , то  $\gamma_c = -\frac{5}{4}\gamma_1$ .

Доказательство. Ясно, что  $\gamma_c < \gamma_3(1) = -\gamma_1$ . То, что  $\gamma_c > -\gamma_1 - \gamma_2$ , следует из неравенства

$$\gamma_1 + \gamma_2 + \gamma_3 = \frac{(z^2 - z + 1)(\gamma_1 z + \gamma_2 z - \gamma_1)}{2z - 1} > 0,$$

верного при  $z > \frac{1}{2}$ . Наконец, из соотношений

$$\frac{\gamma_2 + \gamma_3}{\gamma_1 + \gamma_2} = \frac{z(z - z_1)(z - z_2)}{2z - 1}, \quad z_{1,2} = \frac{2\gamma_1 + \gamma_2 \pm \sqrt{4\gamma_1^2 - 3\gamma_2^2}}{2(\gamma_1 + \gamma_2)} \geq \frac{1}{2}, \quad (21)$$

рассматриваемых при  $z > \frac{1}{2}$ , следует, что  $\gamma_2 + \gamma_c = \inf(\gamma_2 + \gamma_3) > 0$ , если подкоренное выражение в (21) отрицательно;  $\gamma_2 + \gamma_c = 0$  — если оно равно нулю; и  $\gamma_2 + \gamma_c < 0$  — если оно положительно.

То, что  $\gamma_c = -\frac{5}{4}\gamma_1$  при  $\gamma_1 = \gamma_2$ , проверяется непосредственно.

Области интервала  $(0, 1)$ , где функция (17) обратима, —  $(0, \frac{1}{2})$ ,  $(\frac{1}{2}, z_c)$  и  $(z_c, 1)$ , мы обозначаем соответственно  $\text{III}_2$ ,  $\text{III}_3$  и  $\text{III}_1$ . В этих областях, как и в областях  $z < 0$  и  $z > 1$ , коллинеарные конфигурации однозначно параметризуются интенсивностью  $\gamma_3$  при фиксированных  $\gamma_1$  и  $\gamma_2$ . Области определения конфигураций введенных типов как функций  $\gamma_3$  показаны на рис. 2. Для определенности мы приняли  $-\gamma_2 < \gamma_c$ .

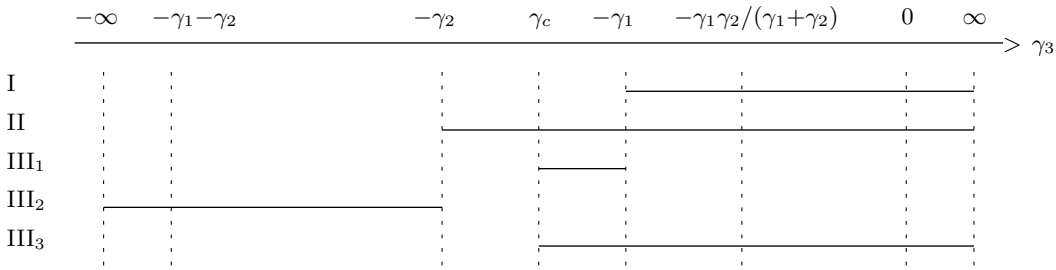


Рис. 2. Области реализации коллинеарных конфигураций (отмечены сплошной линией).

Положим

$$D_c = a_1 z^2 + a_2 (1 - z)^2 + a_3$$

и определим величины  $D_I$ ,  $D_{II}$ ,  $D_{III}$  и  $D_{III_i}$  как ограничения  $D_c$  на соответствующие области изменения  $z$ .

Аналогично, как и для прочих особых точек, при заданных  $\gamma_1$ ,  $\gamma_2$ ,  $\gamma_3$  и  $D$  коллинеарная конфигурация  $z$  реализуется тогда и только тогда, когда  $\operatorname{sgn} D = \operatorname{sgn} D_c$ .

Справедливо следующее утверждение.

**Предложение 4.3.**

$$\operatorname{sgn} D_I = \operatorname{sgn} D_{II} = \operatorname{sgn} D_e, \quad \operatorname{sgn} D_{III} = \operatorname{sgn} a.$$

Доказательство. Непосредственно проверяется, что

$$D_c = \frac{z(z-1)(\gamma_1 z + \gamma_2 z - \gamma_1)D_e}{\gamma_1 z + \gamma_2 z - \gamma_2} = \frac{z(z-1)(\gamma_1 z^2 + \gamma_2 z^2 - 2\gamma_1 z - \gamma_2)a}{z^2 - z + 1}.$$

Коэффициент при  $D_e$  в первом равенстве положителен при  $z < 0$  и  $z > 1$ , коэффициент при  $a$  во втором равенстве положителен при  $0 < z < 1$ .

**Распределение особых точек по числу и типу.** Удобно о наличии или отсутствии конфигурации данного типа судить по диаграммам, подобным приведенным на рис. 2 и рис. 3 для случая  $-\gamma_2 < \gamma_c$ . Рис. 2 мы уже комментировали. На рис. 3 при фиксированных  $\gamma_1$  и  $\gamma_2$  изображены области изменения  $\gamma_3$ , в которых знак соответствующего  $D$  постоянен. Интервалы  $D > 0$  отмечены сплошной линией, интервалы  $D < 0$  оставлены пустыми. Подчеркнем, что эти диаграммы построены в предположении  $-\gamma_2 < \gamma_c$ , иначе  $\gamma_c$  следует переместить в промежуток  $-\gamma_1 - \gamma_2 < \gamma_3 \leq -\gamma_2$  (см. предложение 4.2).

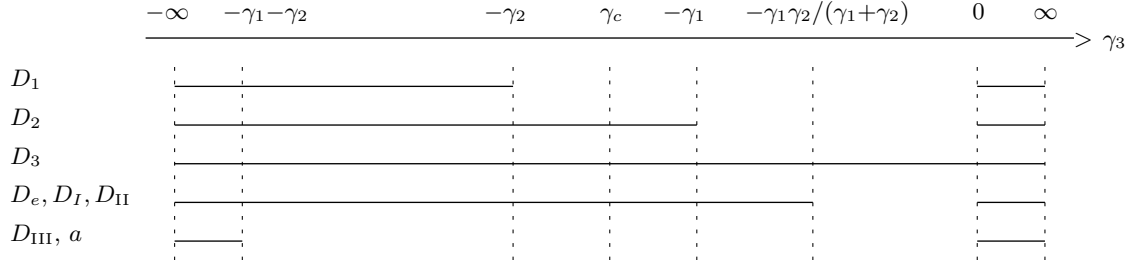


Рис. 3. Области постоянного знака интеграла  $D$ , вычисленного в особых точках. Интервалы  $D > 0$  отмечены сплошными линиями, интервалы  $D < 0$  оставлены пустыми.

Например, произвольному  $\gamma_3$  из области  $-\gamma_1 - \gamma_2 < \gamma_3 < \gamma_2$  при  $D > 0$  отвечают три сингулярные и две (по числу ориентаций) равносторонние конфигурации. Коллинеарные конфигурации не реализуются. При  $D < 0$  наблюдается единственная коллинеарная конфигурация типа  $\text{III}_2$  при отсутствующих сингулярных и равносторонней. При  $D = 0$  стационарные конфигурации отсутствуют.

## 5. Устойчивость особых точек

Исследуем устойчивость особых точек редуцированной системы к *возмущениям, сохраняющим интеграл D*. Будем предполагать  $D \neq 0$ . Случай  $D = 0$  рассмотрим отдельно.

**Сингулярные особые точки.** Для определенности исследуем особую точку типа  $m_1 = 0$  при  $a \neq 0$ . Все прочие возможности анализируются аналогично.

Выберем образующие (13) так, чтобы особая точка оказалась в основании нижней ветви параболоида (9), т. е. положим в образующих  $M_1 = 0$ ,  $M_2 = M_3$  и  $E_2 = -|E_0|$ . В канонических координатах (15) этой точке ответят значения  $x = y = 0$ . В полярных (относительно  $x, y$ ) координатах  $r, \phi$  для уравнения редуцированной системы при  $r \rightarrow 0$

$$\dot{r} = O(r), \quad \dot{\phi} = \frac{\gamma_2 \gamma_3}{2\pi r^2} + O(r).$$

Учитывая гамильтоновость системы, делаем вывод, что рассматриваемая особая точка — центр.

**Особые точки, отвечающие равносторонним конфигурациям.** Для анализа этих точек удобно использовать редуцированную систему в форме (6). Линеаризуя систему в точке  $m_1 = m_2 = m_3$ , для соответствующих приращений получаем равенства

$$\dot{\mu}_0 = - \sum \frac{a_j - a_k}{4\pi a_j a_k m_i} \mu_i, \quad \dot{\mu}_i = - \frac{m_0}{\pi a_i m_i} (\mu_j - \mu_k).$$

Корни характеристического уравнения линеаризованной системы имеют вид

$$\lambda_1 = \lambda_2 = 0, \quad \lambda_{3,4} = \pm \frac{m_0}{\pi m_1^2} \sqrt{-\gamma}.$$

Нулевые собственные значения связаны с интегралами  $F = 0$  и  $D = \text{const}$  и исчезают при ограничении на симплектический лист системы. Вид оставшихся корней приводит к следующему утверждению.

**Предложение 5.1.** *Устойчивость особой точки, отвечающей равносторонней конфигурации, определяется знаком величины  $\gamma$ : при  $\gamma > 0$  точка устойчива, при  $\gamma < 0$  — неустойчива.*

При  $\gamma = 0$  равносторонняя конфигурация реализуется, очевидно, лишь при  $D = 0$ .

**Особые точки, отвечающие коллинеарным конфигурациям.** Достаточно рассмотреть случай  $a \neq 0$ , ибо при  $a = 0$  реализуется лишь конфигурация  $z = \frac{\gamma_1}{\gamma_1 + \gamma_2}$ , а тогда  $D = 0$ . Исследование проведем в координатах (13) при

$$M_1 = z^2 M_3, \quad M_2 = (1 - z)^2 M_3,$$

где  $z$  представляет рассматриваемую точку. В этой точке  $e_1 = e_3 = 0$ .

Исключая с помощью (9) из уравнений движения координату  $e_2$  и линеаризуя уравнения, находим для возмущений

$$\dot{\epsilon}_1 = -\frac{AE_0}{2\pi E_2 M_1 M_2 M_3} \epsilon_3, \quad \dot{\epsilon}_3 = -\frac{BE_0}{2\pi E_2 M_1 M_2 M_3} \epsilon_1,$$

где

$$A = \sum (\gamma_i + \gamma_j) M_i M_j, \quad B = \sum \frac{\gamma_i}{3} (M_j - M_k)^2.$$

Таким образом, нами доказано следующее утверждение.

**Предложение 5.2.** *Устойчивость особой точки, отвечающей коллинеарной конфигурации вихрей, при  $A \neq 0$  и  $B \neq 0$  определяется знаком произведения  $AB$ : при  $AB < 0$  точка устойчива, при  $AB > 0$  — неустойчива.*

В применении к коллинеарным конфигурациям типа I, II и III данное предложение конкретизируется следующим образом.

**Предложение 5.3.** *Конфигурации типа I и II устойчивы при  $\gamma < 0$  и неустойчивы при  $\gamma > 0$ . Конфигурации типа III<sub>1</sub> и III<sub>2</sub> всегда устойчивы, конфигурация типа III<sub>3</sub> всегда неустойчива.*

Доказательство. При  $M_3 = 1$  справедливы представления

$$A = z(z - 1)(2z - 1)\gamma_3, \tag{22}$$

$$B = z(z - 1)(\gamma_1 z^2 + \gamma_2 z^2 - 2\gamma_1 - \gamma_2) = \frac{z(z - 1)(2z - 1)}{\gamma_1 z + \gamma_2 z - \gamma_2} \gamma. \tag{23}$$

Из (22), в свете предложения 4.1, следует, что  $A > 0$  на интервалах  $z < 0$ ,  $\frac{1}{2} < z < z_c$  и  $z > 1$  и  $A < 0$  на интервалах  $0 < z < \frac{1}{2}$  и  $z_c < z < 1$ . С другой стороны, из (23) следует, что  $B > 0$  на интервале  $0 < z < 1$ , а вне его знаки  $B$  и  $\gamma$  совпадают.

При  $\gamma = 0$  реализуются (см. рис. 2, 3) либо конфигурация типа III<sub>3</sub>, либо те, у которых  $D = 0$ . Конфигурация  $z = \frac{1}{2}$  реализуется только при  $\gamma_1 = \gamma_2$ , а в этом случае  $z_c = \frac{1}{2}$ .

При  $z = z_c$  линейного анализа недостаточно для суждения об устойчивости конфигурации. Учет первых нелинейных членов приводит к уравнениям: при  $\gamma_1 \neq \gamma_2$  —

$$\begin{aligned} \dot{\epsilon}_1 &= -\frac{\gamma_1 \sqrt{-a}(z - 2)(2z - 1)(z + 1)}{\pi z(4z^2 - z + 1)(z - 1)^2} (\epsilon_1^2 - \epsilon_3^2), \\ \dot{\epsilon}_3 &= -\frac{3\gamma_1(z^2 - z + 1)}{\pi(4z^2 - z + 1)(z - 1)} \epsilon_1, \end{aligned}$$

и при  $\gamma_1 = \gamma_2$  —

$$\dot{\epsilon}_1 = \frac{48}{5\pi\gamma_1} (3\epsilon_1^2 - \epsilon_3^2)\epsilon_3, \quad \dot{\epsilon}_3 = \frac{3\gamma_1}{\pi} \epsilon_1.$$

В правых частях этих уравнений коэффициенты при множителях, содержащих возмущения, положительны. Отсюда делаем следующий вывод [10].

**Предложение 5.4.** *Критическая конфигурация  $z_c$  неустойчива при  $\gamma_1 \neq \gamma_2$  и устойчива при  $\gamma_1 = \gamma_2$ .*

**Случай  $D = 0$ .** При  $D = 0$  особые точки реализуются только в трех случаях (см. рис. 3):

- 1)  $\gamma_1 + \gamma_3 = 0$  или  $\gamma_2 + \gamma_3 = 0$  (сингулярная конфигурация);
- 2)  $\gamma = 0$  (равносторонняя и коллинеарная конфигурация);
- 3)  $a = 0$  (коллинеарная конфигурация).

Рассмотрим случай  $\gamma_2 + \gamma_3 = 0$  (случай  $\gamma_1 + \gamma_3 = 0$  рассматривается аналогично). В качестве образующих вихревой алгебры примем образующие (7), перейдем к каноническим координатам (15), а от них — к полярным  $r, \phi$ . Из интеграла энергии и уравнений движения находим

$$r^2 = \frac{h}{(\gamma_1^2 + \gamma_2^2 - 2\gamma_1\gamma_2 \sin \phi)^{\gamma_1/\gamma_2} (\sin \phi + 1)}, \quad \dot{\phi} = -\frac{\gamma_2}{2\pi r^2}$$

где  $h > 0$  — произвольная постоянная. Мы видим, что особые точки редуцированной системы составляют сингулярный луч  $\phi = -\frac{1}{2}\pi$  и все фазовые кривые системы неограничены. Движение вблизи сингулярного луча, а также при больших отрицательных  $y$  и при  $\gamma_1 = \gamma_2$  происходит по закону

$$\dot{x} = 0, \quad \dot{y} = -\frac{\gamma_2^2}{2\pi x}.$$

При  $\gamma = 0$  интегральные кривые редуцированной имеют вид

$$m_i = m_{i0}t + m_{i1}, \quad i = 0, 1, 2, 3,$$

с подходящими коэффициентами  $m_{i0}$  и  $m_{i1}$ . В канонических координатах фазовый портрет представляется совокупностью лучей, исходящих из начала координат. Особые точки, отвечающие коллинеарным конфигурациям, образуют лучи  $\phi = \pm\frac{1}{2}\pi$ , а особые точки, отвечающие равносторонним конфигурациям — пару лучей в верхней полуплоскости:

$$\sin \phi = \frac{\gamma_2 - \gamma_1}{2\sqrt{\gamma_1^2 + \gamma_1\gamma_2 + \gamma_2^2}}$$

При  $a = 0$  фазовое пространство системы целиком состоит из особых точек, отвечающих коллинеарной конфигурации

$$z = \frac{\gamma_1}{\gamma_1 + \gamma_2}.$$

**Выводы.** Соберем вместе результаты об устойчивости.

**Теорема 5.1.** *Сингулярные конфигурации неустойчивы только при  $D = 0$ . Равносторонние конфигурации устойчивы при  $\gamma > 0$ , иначе — неустойчивы. Коллинеарные конфигурации типа I и II устойчивы при  $\gamma < 0$ , иначе — неустойчивы. Конфигурации типа III<sub>1</sub> и III<sub>2</sub> всегда устойчивы, типа III<sub>3</sub> — всегда неустойчивы. Конфигурация  $z_c$  устойчива при  $\gamma_1 = \gamma_2$ , иначе — неустойчива.*

Используя результаты по распределению числа и типа особых точек на фазовом портрете, получаем таблицу 1.

	$-\infty$	$a=0$	$\gamma_c$	$-\gamma_2$	$-\gamma_1$	$\gamma=0$	$0$	$\infty$	$\gamma_3$	$-\gamma_2$	$\gamma_c$
1	$s^+$	$s^+$	$s^+$	$s^+$	$s^+$	$u^0$	$s^-$	$s^-$	$s^-$	$s^-$	$s^+$
2	$s^+$	$s^+$	$s^+$	$s^+$	$s^+$	$s^+$	$s^+$	$u^0$	$s^-$	$s^-$	$s^-$
3	$s^+$	$s^+$	$s^+$	$s^+$	$s^+$	$s^+$	$s^+$	$s^+$	$s^+$	$s^+$	$s^+$
I	—	—	—	—	—	—	$s^+$	$u^0$	$u^-$	$u^+$	—
II	—	—	—	—	—	$s^+$	$s^+$	$s^+$	$u^0$	$u^-$	$u^+$
III <sub>1</sub>	—	—	—	—	$s^-$	$s^-$	$s^-$	—	—	—	—
III <sub>2</sub>	$s^+$	$s^0$	$s^-$	$s^-$	$s^-$	—	—	—	—	—	—
III <sub>3</sub>	—	—	—	—	$u^-$	$u^-$	$u^-$	$u^-$	$u^-$	$u^-$	$u^+$
E	$u^+$	$u^+$	$u^+$	$u^+$	$u^+$	$u^+$	$u^+$	$u^+$	$u^0$	$s^-$	$s^+$
										$u^+$	$u^+$
										$u^+$	$u^+$

(a) (b)

Таблица 1. Тип и устойчивость стационарных конфигураций относительного движения вихрей как функция  $\gamma_3$ : (a)  $\gamma_c < -\gamma_2$ ; (b)  $\gamma_c > -\gamma_2$  (показан фрагмент таблицы — целиком таблица получается из (a) заменой фрагмента  $[\gamma_c, -\gamma_2]$  на данный). Обозначения: «s» — stable, «u» — unstable, верхний индекс представляет сигнатуру  $D$ .

Со следующими замечаниями она дает исчерпывающую информацию о локальной структуре фазового портрета редуцированной системы.

- 1) Из таблицы исключена конфигурация  $z_c$ . Она реализуется при  $\gamma_3 = \gamma_c$  и относится к типу  $u^-$ , если  $\gamma_1 \neq \gamma_2$ , и типу  $s^-$ , если  $\gamma_1 = \gamma_2$ .
- 2) Столбцы, соответствующие бифуркационным значениям  $\gamma_3$  ( $a = 0, \gamma_c, -\gamma_2, \gamma_1, \gamma = 0$ ), восстанавливаются по столбцам, непосредственно (слева и справа) к ним примыкающим, и информации об устойчивости особых точек при  $D = 0$ . Действительно, для каждой конфигурации сигнатура  $D$  в точке бифуркации определяется знаком  $D$  непосредственно слева и справа от этой точки. Если этот знак одинаков, то он тот же и в точке бифуркации, если разный, то  $\operatorname{sgn} D = 0$ . Тип устойчивости при прохождении бифуркационного значения в первом случае сохраняется, во втором — определяется типом устойчивости особой точки при  $D = 0$ . Конфигурация не реализуется в точке бифуркации, если она не реализуется непосредственно слева или справа от нее.
- 3) Мы не привели таблицы при  $\gamma_1 = \gamma_2$  и  $\gamma_c = -\gamma_2$ . Они совпадают с таблицей 1(а), за исключением соответственно фрагментов  $[-\gamma_2, -\gamma_1]$  и  $[\gamma_c, -\gamma_2]$ . Последние следует заменить на должным образом модифицированные столбцы  $-\gamma_1$  и  $\gamma_c$ .

**Следствие 5.1.** *Пусть при заданных  $\gamma_1, \gamma_2, \gamma_3$  и  $D$  реализуется как равносторонняя, так и коллинеарная конфигурация вихрей. Тогда, если одна из них устойчива, то другая неустойчива, и наоборот.*

## Список литературы

- [1] J. Tavantzis, L. Ting, “The dynamics of three vortices revisited”, *Phys. Fluids*, **31**:6, (1988), 1392–1409.
- [2] А. В. Борисов, И. С. Мамаев, *Математические методы динамики вихревых структур*, Ин-т компьютер. исслед., Москва – Ижевск, 2005.
- [3] H. Aref, “Stability of relative equilibria of three vortices”, (Article 094101), *Phys. Fluids*, **21**:9, (2009), 1–22.
- [4] А. В. Борисов, А. Е. Павлов, “Динамика и статика вихрей на плоскости и сфере — Г”, *Reg. & Chaot. Dyn*, **3**:1, (1998), 28–38.

- [5] А. В. Борисов, В. Г. Лебедев, “Динамика трех вихрей на плоскости и на сфере — II. Общий компактный случай”, *Reg. & Chaot. Dyn.*, **3**:2, (1998), 99–114.
- [6] А. В. Борисов, В. Г. Лебедев, “Динамика трех вихрей на плоскости и на сфере — III. Некомпактный случай. Проблема коллапса и рассеяния”, *Reg. & Chaot. Dyn.*, **3**:4, (1998), 74–86.
- [7] А. И. Гудименко, “Динамика трех вихрей в возмущенной сингулярной конфигурации”, *Нелинейная Динамика*, **4**:2, (2008), 429–441.
- [8] A. I. Gudimenko, “Dynamics of perturbed equilateral and collinear configurations of three point vortices”, *Reg. & Chaot. Dyn.*, **13**:2, (2008), 85–95.
- [9] А. И. Гудименко, К. Г. Купцов, “Движение трех точечных вихрей в случае, если один из них проходит через центр завихренности”, *Вестн. Удмурд. гос. ун-та*, 2009, № 2, 38–52.
- [10] А. А. Андронов, Е. А. Леонтович, И. И. Гордон, А. Г. Майер, *Качественная теория динамических систем второго порядка*, Наука, Москва, 1966.

Представлено в Дальневосточный математический журнал 11 февраля 2010 г.

Работа выполнена при финансовой поддержке РФФИ (код проекта 08-05-00061-а, 10-05-00646-а) и ДВО РАН (гранты 09-И-П17-07, 09-И-П4-04, 09-II-СОП4-04)

*Gudimenko A.I., Zakharenko A.D. A study of relative equilibria of three vortices.  
Far Eastern Mathematical Journal. 2010. V. 10. № 2. P. 106–116.*

#### ABSTRACT

The positions of relative equilibrium of three point vortices on the unbounded plain according to their type and stability are fully classified.

Key words: *point vortices, relative equilibria, stability, algebraic reduction.*